

Wir betrachten ein Vollionisiertes Plasma und führen folgende kombinierte Größen ein:

$$\rho = n_i m_i + n_e m_e \approx n (m_i + m_e) \quad \text{Massendichte}$$

$$\vec{v} = \frac{1}{\rho} (n_i m_i \vec{v}_i + n_e m_e \vec{v}_e) \approx \frac{m_i \vec{v}_i + m_e \vec{v}_e}{m_i + m_e} \quad \text{Geschwindigkeit}$$

$$\vec{j} = e (m_i \vec{v}_i - m_e \vec{v}_e) \approx n e (v_i - v_e) \quad \text{Stromdichte}$$

Impulsbilanzen für Elektronen und Ionen:

$$m_i n \frac{\partial \vec{v}_i}{\partial t} = e n (\vec{E} + \vec{v}_i \times \vec{B}) - \nabla p_i + M n \vec{g} + \vec{P}_{ie}$$

$$m_e n \frac{\partial \vec{v}_e}{\partial t} = e n (\vec{E} + \vec{v}_e \times \vec{B}) - \nabla p_e + M n \vec{g} + \vec{P}_{ei}$$

Zur Vereinfachung: Viskosität vernachlässigt, für die Kollisionsterme gilt:

$$\vec{P}_{ei} = -\vec{P}_{ie} = \underbrace{\eta}_{\text{Spitzer Resistivity}} e^2 n^2 (\vec{v}_i - \vec{v}_e)$$

Spitzer Resistivity

Für die Summe der Impulsbilanzen ergibt sich mit den vorherigen Definitionen:

$$\rho \frac{\partial \vec{v}}{\partial t} = \vec{j} \times \vec{B} - \nabla p + \rho \vec{g} \quad , \quad \text{mit: } p = p_e + p_i$$

Multiplikation der Impulsbilanz für Elektronen mit der Ionenmasse + CC und Differenzbildung:

$$Mmn \frac{\partial}{\partial t} (\vec{v}_i - \vec{v}_e) = en(M + m) \vec{E} + en(m \vec{v}_i + M \vec{v}_e) \times \vec{B} \\ - m \nabla p_i + M \nabla p_e - (M + m) P_{ei}$$

$$\rightarrow \frac{Mmn}{e} \frac{\partial}{\partial t} \left(\frac{\vec{j}}{n} \right) = e \rho E - (M + m) ne \eta \vec{j} - m \nabla p_i + M \nabla p_e \\ + en(m \vec{v}_i + M \vec{v}_e) \times \vec{B}$$

Der letzte Term lässt sich vereinfachen:

$$(m \vec{v}_i + M \vec{v}_e) = M \vec{v}_i + m \vec{v}_e + M (\vec{v}_e - \vec{v}_i) + m (\vec{v}_i - \vec{v}_e) = \frac{\rho}{n} \vec{v} - (M - m) \frac{\vec{j}}{ne}$$

Hieraus erhält man das verallgemeinerte ohmsche Gesetz:

$$\vec{E} + \vec{v} \times \vec{B} - \eta \vec{j} = \frac{1}{e\rho} \left[\frac{Mmn}{e} \frac{\partial}{\partial t} \left(\frac{\vec{j}}{n} \right) + (M - m) \vec{j} \times \vec{B} + m \nabla p_i - M \nabla p_e \right]$$

Betrachtet man langsame Bewegungen und $m/M \rightarrow 0$, erhält man die bekannte Form:

$$\vec{E} + \vec{v} \times \vec{B} = \eta \vec{j} - \frac{1}{ne} (\vec{j} \times \vec{B} - \nabla p_e)$$

Wir vernachlässigen noch den letzten Term, bilden die Rotation und setzen das Induktions- und das Durchflutungsgesetz ein:

$$\begin{aligned} \nabla \times \vec{E} + \nabla \times (\vec{v} \times \vec{B}) &= \eta \nabla \times \vec{j} = -\frac{\partial \vec{B}}{\partial t} + \nabla \times (\vec{v} \times \vec{B}) \\ &= \frac{\eta}{\mu_0} \nabla \times (\nabla \times \vec{B}) = \frac{\eta}{\mu_0} \Delta \vec{B} \end{aligned}$$

$$-\frac{\partial \vec{B}}{\partial t} + \nabla \times (\vec{v} \times \vec{B}) = \frac{\eta}{\mu_0} \Delta \vec{B}$$

Betrachten wir ein Plasma mit verschwindender Resistivität: $\eta \rightarrow 0$

$$\frac{\partial \vec{B}}{\partial t} = \nabla \times (\vec{v} \times \vec{B}) = (\vec{B} \cdot \nabla) \vec{v} - \vec{B} (\nabla \cdot \vec{v})$$

Und verwenden die Kontinuitätsgleichung

$$\frac{\partial \rho}{\partial t} + \nabla \cdot (\rho \vec{v}) = 0$$

Folgt:

$$\dot{\vec{B}} = (\vec{B} \cdot \nabla) \vec{v} + \vec{B} \frac{1}{\rho} \frac{\partial \rho}{\partial t}$$

$$\dot{\vec{B}} = (\vec{B} \cdot \nabla) \vec{v} + \vec{B} \frac{1}{\rho} \frac{\partial \rho}{\partial t}$$

Mit der Beziehung:

$$\frac{d}{dt} \left(\frac{B}{\rho} \right) = \frac{1}{\rho} \frac{\partial B}{\partial t} - \frac{B}{\rho^2} \frac{\partial \rho}{\partial t}$$

Ergibt sich

$$\frac{d}{dt} \left(\frac{\vec{B}}{\rho} \right) = \left(\frac{\vec{B}}{\rho} \cdot \nabla \right) \vec{v} \quad \overset{0}{\nearrow}$$

$$\frac{d}{dt} \left(\frac{\vec{B}}{\rho} \right) = 0$$

Das Plasma ist am Magnetfeld „festgefroren“. Formaler Beweis: s. z.B. Boyd-Sanderson, s. 79



R-Welle $n_R^2 = R = 1 - \frac{\omega_{pi}^2}{\omega(\omega + \omega_{ci})} - \frac{\omega_{pe}^2}{\omega(\omega - \omega_{ce})}$

L-Welle $n_L^2 = L = 1 - \frac{\omega_{pi}^2}{\omega(\omega - \omega_{ci})} - \frac{\omega_{pe}^2}{\omega(\omega + \omega_{ce})}$

O-Welle $n_o^2 = P = 1 - \frac{\omega_{pe}^2}{\omega^2} - \frac{\omega_{pi}^2}{\omega^2} = 1 - \frac{\omega_p^2}{\omega^2}$

X-Welle $n_x^2 = \frac{RL}{S} = \frac{[(\omega + \omega_{ci})(\omega - \omega_{ce}) - \omega_p^2][(\omega - \omega_{ci})(\omega + \omega_{ce}) - \omega_p^2]}{(\omega^2 - \omega_{ci}^2)(\omega^2 - \omega_{ce}^2) + \omega_p^2(\omega_{ce}\omega_{ci} - \omega^2)}$

Wir betrachten niedrige Frequenzen $\omega \ll \omega_{ci}$

In diesem Fall ist die Dispersionsrelation einfach genug, um Propagation unter beliebigem Winkel zum äußeren Magnetfeld zu betrachten. Weiterhin nehmen wir wieder an: $m_e \ll m_i$

Für die Elemente des dielektrischen Tensors erhalten wir:

$$\begin{aligned}
 K_{xx} = K_1 = S &= 1 + \frac{\omega_{pi}^2}{\omega_{ci}^2 - \omega^2} + \frac{\omega_{pe}^2}{\omega_{ce}^2 - \omega^2} \simeq 1 + \frac{\omega_{pi}^2}{\omega_{ci}^2} = 1 + \frac{n_i e^2}{\epsilon_0 m_i} = 1 + \frac{n_i m_i}{\epsilon_0 B^2} \\
 &= \frac{c^2 \mu_0 \rho}{B^2} = 1 + \frac{c^2}{v_A^2} \equiv K_A
 \end{aligned}$$

Mit der Alfvén-Geschwindigkeit

$$v_A = \frac{B_0^2}{\sqrt{\mu_0 \rho}}$$

Und der Massendichte $\rho = n_e m_e + n_i m_i \approx n_i m_i$

Für die xy, bzw. z-Elemente des dielektrischen Tensors erhalten wir

$$K_{xy} = K_2 = -iD = \frac{i \omega_{ci} \omega_{pi}^2}{\omega(\omega_{ci}^2 - \omega^2)} + \frac{i \omega_{ce} \omega_{pe}^2}{\omega(\omega_{ce}^2 - \omega^2)} \simeq \frac{i \omega c^2}{\omega_{ci} v_A^2} \rightarrow 0$$

$$K_{zz} = K_3 = P = 1 - \frac{\omega_{pi}^2 + \omega_{pe}^2}{\omega^2} \simeq 1 - \frac{c^2 \omega_{ci} \omega_{ce}}{v_A^2 \omega^2} \rightarrow \infty$$

Damit wird die Wellengleichung zu

$$\begin{aligned} (-n^2 \cos^2 \theta + K_A) E_x &= 0 \\ (-n^2 + K_A) E_y &= 0 \\ (\infty) E_z &= 0 \quad \Rightarrow E_z = 0 \end{aligned}$$



Alfvén-Wellen



Torsional (slow) Alfvén Wave $E_x \neq 0, E_y = 0$

$$n^2 \cos^2 \theta = K_A = 1 + \frac{c^2}{v_A^2}$$

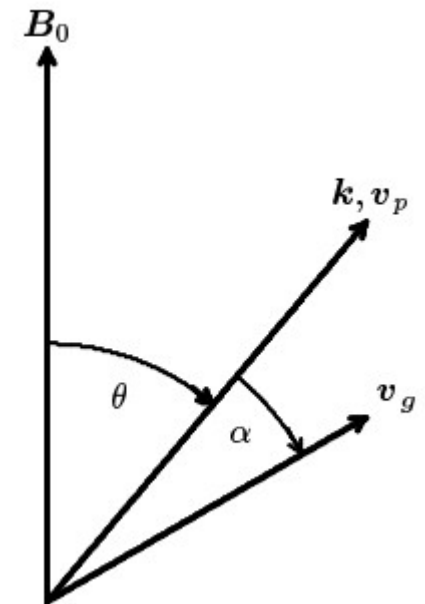
$$\Rightarrow v_p^2 = \frac{\omega^2}{k^2} = \frac{c^2}{n^2} = \frac{c^2 v_A^2 \cos^2 \theta}{(c^2 + v_A^2)} \approx v_A^2 \cos^2 \theta$$

Mit: $\tan \alpha = \frac{-1}{k} \frac{\partial k}{\partial \theta}$ (s. letzte Vorlesung) folgt:

$$\frac{\partial v_p}{\partial \theta} = \frac{\partial v_p}{\partial k} \frac{\partial k}{\partial \theta} = \frac{-\omega}{k^2} \frac{\partial k}{\partial \theta} = -\frac{\omega}{k} \frac{1}{k} \frac{\partial k}{\partial \theta} = v_p \tan \alpha$$

Oder $\tan \alpha = \frac{1}{v_p} \frac{\partial v_p}{\partial \theta} = -\frac{1}{v_A \cos \theta} \cdot v_A \sin \theta = -\tan \theta$

$$\Rightarrow \alpha = -\theta$$



Torsional (slow) Alfvén Wave

Die Gruppengeschwindigkeit ist also in Richtung des äußeren Magnetfeldes.
Dies kann man auch folgendermaßen einsehen:

$$\vec{B} = \frac{\vec{k} \times \vec{E}}{\omega} = B_y \hat{e}_y$$

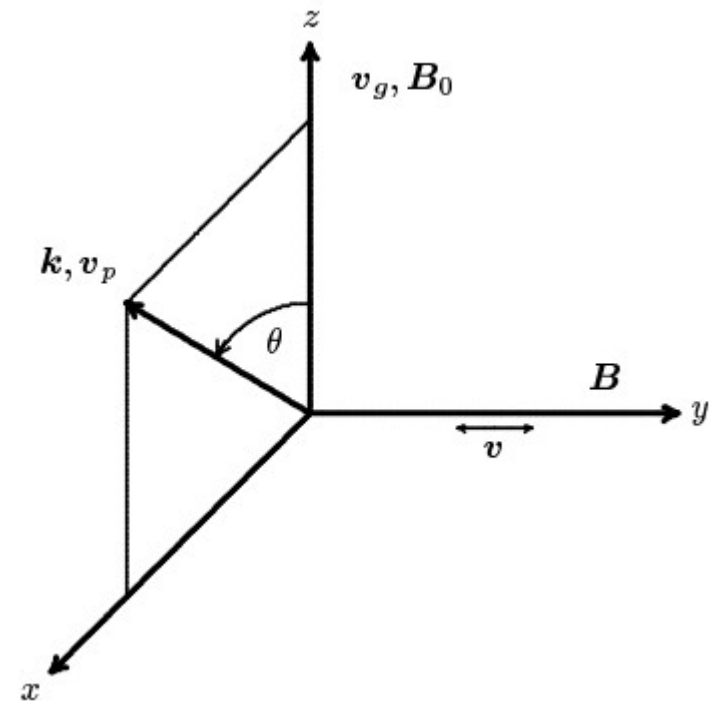
Poynting-Vektor:

$$\vec{s} = \frac{\vec{E} \times \vec{B}}{\mu_0} = \frac{E_x B_y}{\mu_0} \hat{e}_z$$

Weiterhin

$$\vec{E} = \vec{v} \times \vec{B} \Rightarrow \vec{v} = -\frac{E_x}{B_0} \hat{e}_y \Rightarrow \vec{k} \cdot \vec{v} = 0$$

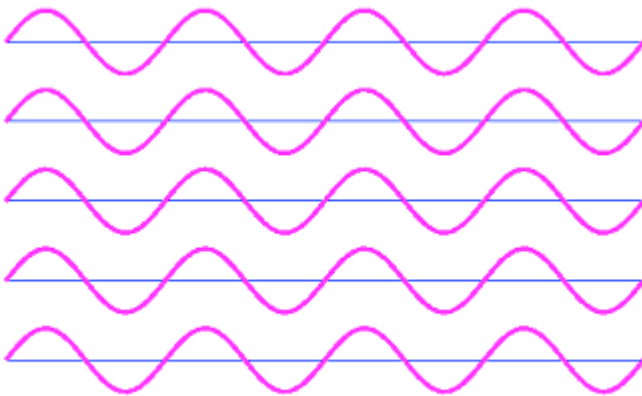
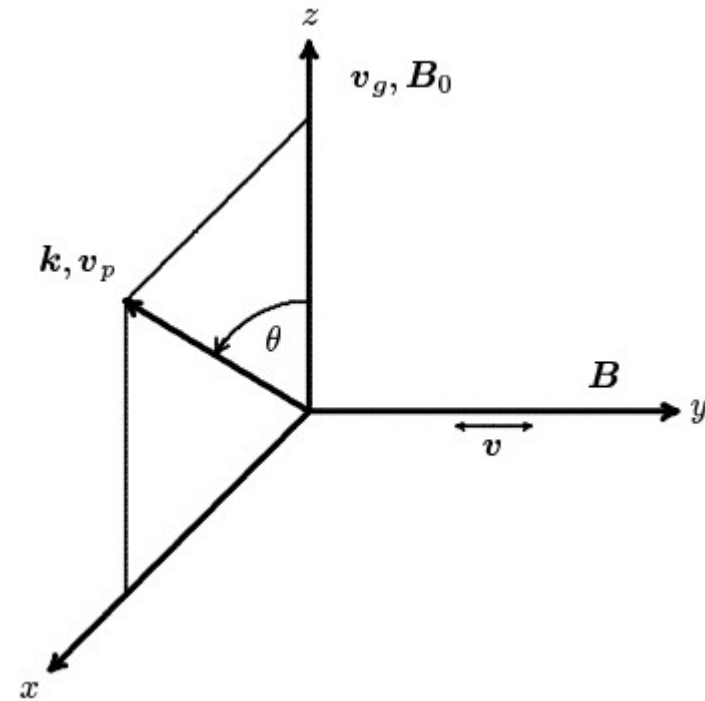
$$\Rightarrow \frac{i \omega \rho}{Nq} = 0 \quad \text{keine Ladungsfluktuation}$$



Torsional (slow) Alfvén Wave

Analogie zur Instrumentensaite:

$$v = \sqrt{\frac{T}{\rho_l}} = v_A = \sqrt{\frac{B_0^2}{\mu_0 \rho_m}}$$



Field lines torsion

Compressional (fast) Alfvén Wave $E_y \neq 0, E_x = 0$

$$n^2 = K_A = 1 + \frac{c^2}{v_A^2}$$

$$\Rightarrow v_p^2 = \frac{\omega^2}{k^2} = \frac{c^2}{n^2} = \frac{c^2 v_A^2}{(c^2 + v_A^2)} \approx v_A^2$$

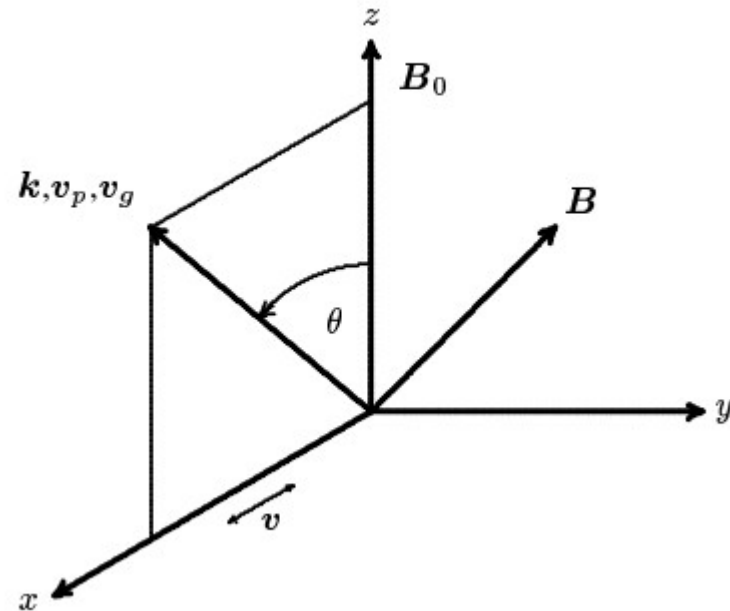
$$\tan \alpha = \frac{1}{v_p} \frac{\partial v_p}{\partial \theta} = 0 \quad \Rightarrow \alpha = 0$$

Analog zur torsional Alfvén Wave

$$\vec{B} = \frac{\vec{k} \times \vec{E}}{\omega} = B_x \hat{e}_x + B_z \hat{e}_z$$

Poynting-Vektor:

$$\vec{s} = \frac{\vec{E} \times \vec{B}}{\mu_0} \propto \vec{k}$$



Compressional (fast) Alfvén Wave

Weiterhin

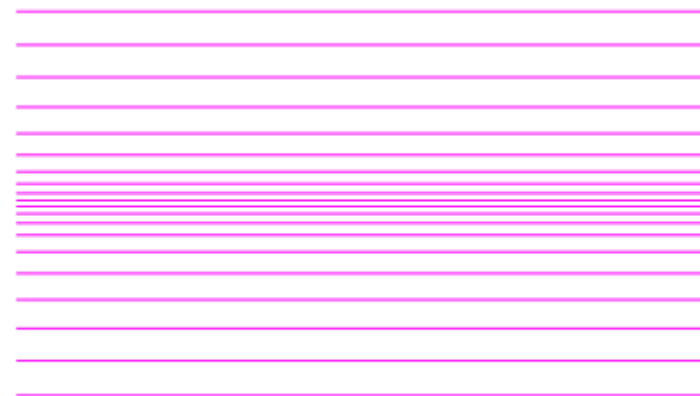
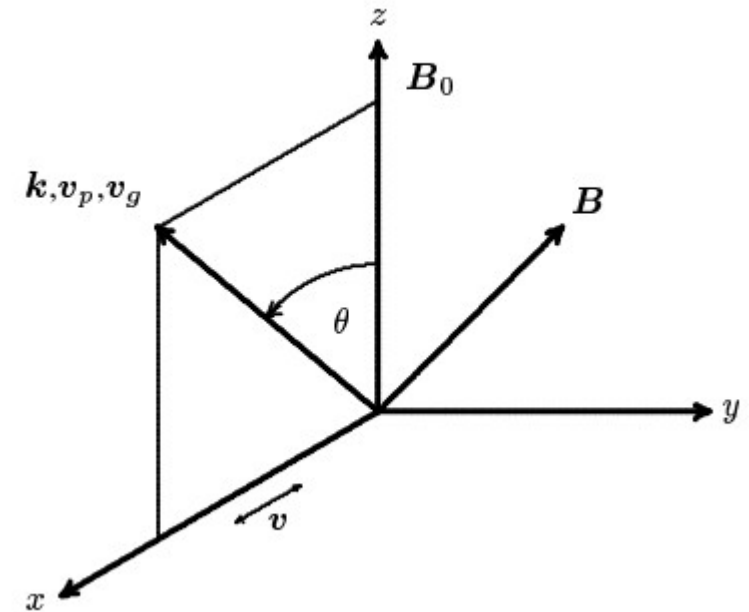
$$\vec{E} = \vec{v} \times \vec{B} \Rightarrow \vec{v} = \frac{E_y}{B_0} \hat{e}_x \Rightarrow \vec{k} \cdot \vec{v} \neq 0$$

Analogie zu Schallwellen:
Magnetischer Druck:

$$p_m = \sqrt{\frac{B_0^2}{2\mu_0}}$$

Damit:

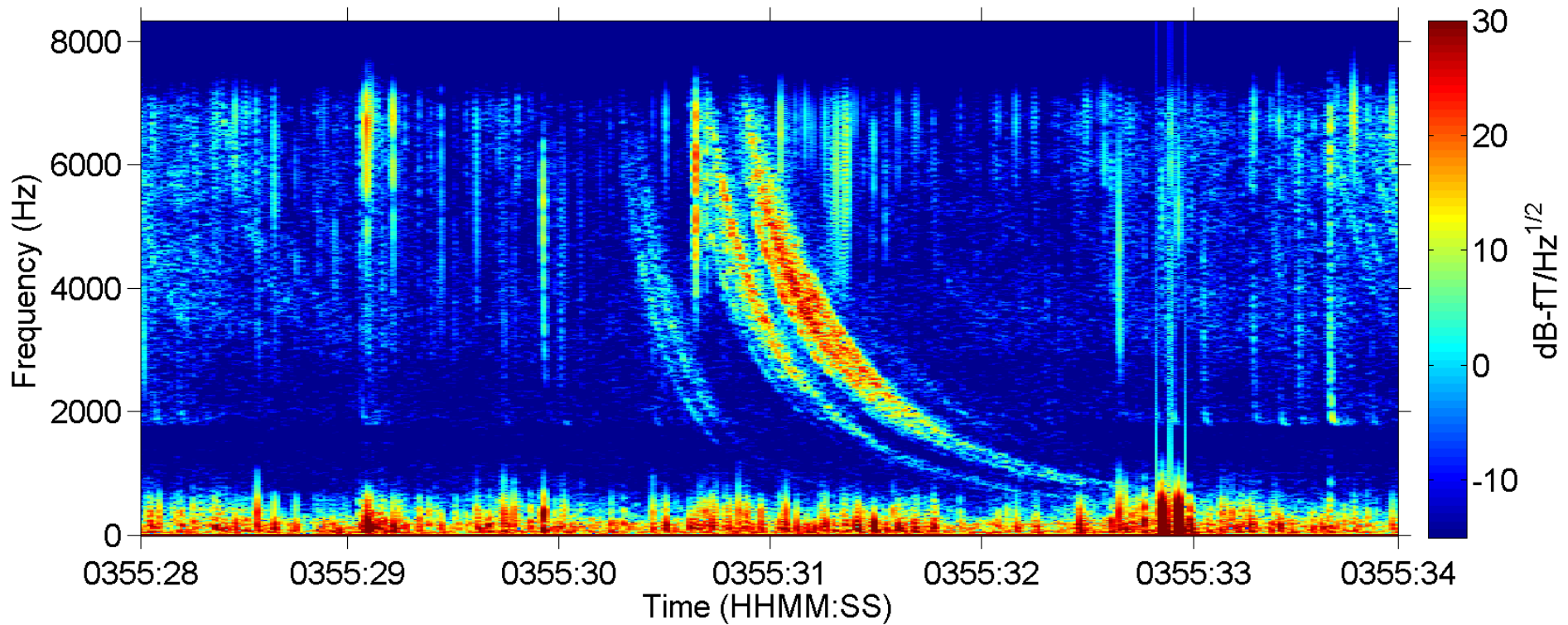
$$v_s = \sqrt{\frac{\gamma p}{\rho_m}} = v_A = \sqrt{\frac{\gamma B_0^2}{2\mu_0 \rho_m}}$$



Field lines compression

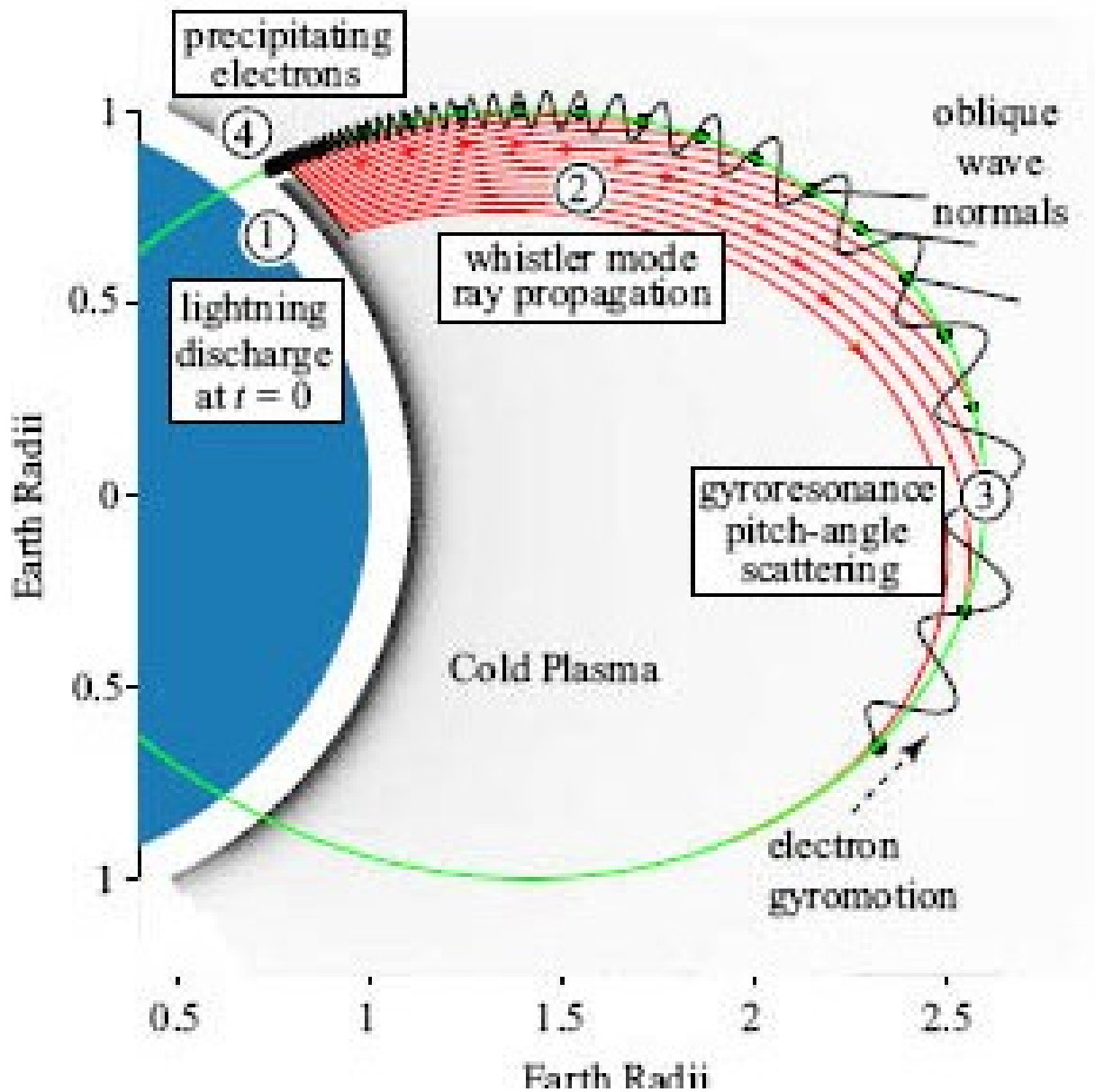
Whistler Wellen

Stanford VLF Palmer Station 2004-07-23





Whistler Wellen





Mittlerer Frequenzbereich: $\omega_{ci} \ll \omega \ll \omega_{ce} \approx \omega_{pe}$ also zwischen lower und upper hybrid.

Wir betrachten zunächst die R-Welle:

$$n^2 = R = 1 - \frac{\omega_{pi}^2}{\omega(\omega + \omega_{ci})} - \frac{\omega_{pe}^2}{\omega(\omega - \omega_{ce})} \approx 1 - \frac{\omega_{pi}^2}{\omega^2} + \frac{\omega_{pe}^2}{\omega\omega_{ce}} \approx \frac{\omega_{pe}^2}{\omega\omega_{ce}}$$

$$\Leftrightarrow \omega = k^2 c^2 \frac{\omega_{ce}}{\omega_{pe}^2}$$

Damit ist:

$$v_p = \frac{\omega}{k} = \frac{c}{n} = c \sqrt{\frac{\omega\omega_{ce}}{\omega_{pe}^2}} = \frac{k c^2 \omega_{ce}}{\omega_{pe}^2}$$

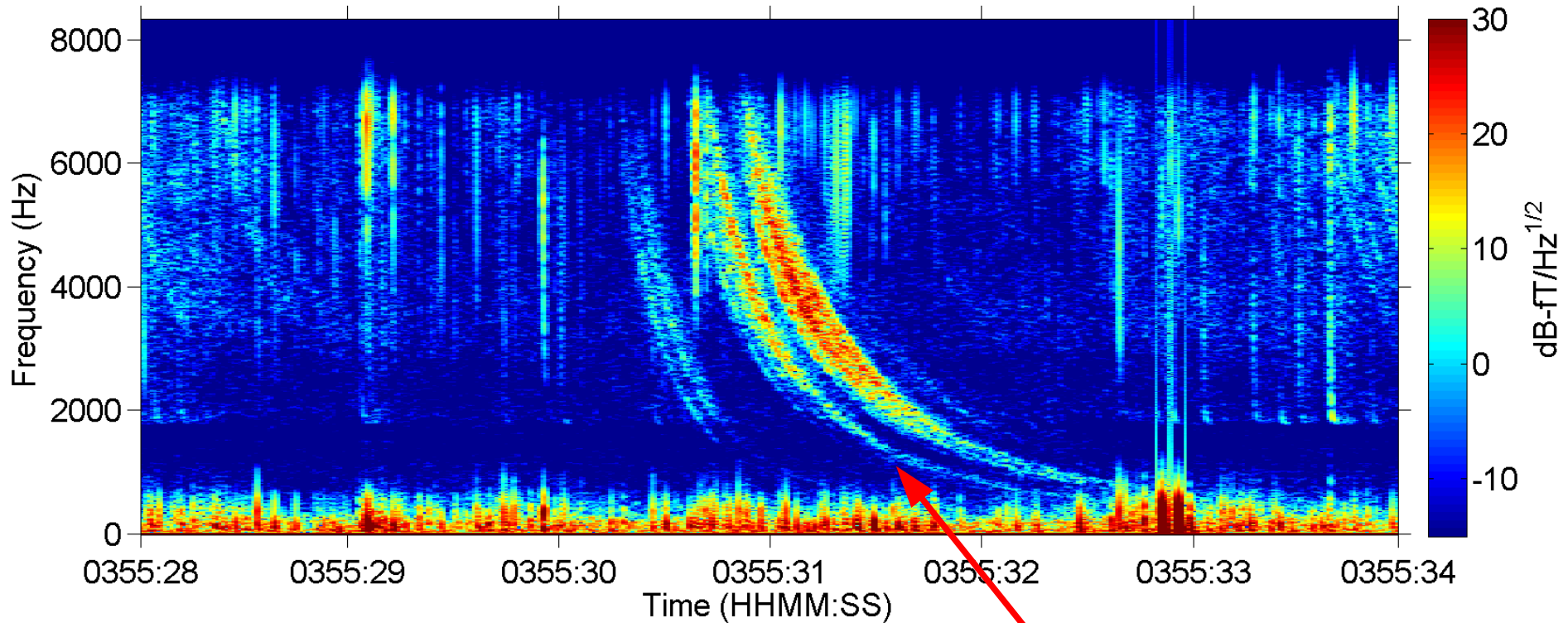
$$v_g = \frac{d\omega}{dk} = 2c \sqrt{\frac{\omega\omega_{ce}}{\omega_{pe}^2}} = \frac{2k c^2 \omega_{ce}}{\omega_{pe}^2} = 2v_p$$



Whistler Wellen



Stanford VLF Palmer Station 2004-07-23



Zeit-Frequenzverlauf nach Strecke L:

$$L = v_p t = c \sqrt{\frac{\omega \omega_{ce}}{\omega_{pe}^2}} t \Leftrightarrow \omega(t, L) = \left(\frac{L}{ct}\right)^2 \frac{\omega_{pe}^2}{\omega_{ce}} \circ \frac{1}{t^2}$$



Propagationsrichtung:

$$K_{xx} = 1 - \frac{\omega_{pi}^2}{\omega^2 - \omega_{ci}^2} - \frac{\omega_{pe}^2}{\omega^2 - \omega_{ce}^2} \simeq 1 - \frac{\omega_{pi}^2}{\omega^2} + \frac{\omega_{pe}^2}{\omega_{ce}^2}$$

$$K_{xy} = \frac{i \omega_{pi}^2 \omega_{ci}}{\omega(\omega_{ci}^2 - \omega^2)} - \frac{i \omega_{pe}^2 \omega_{ce}}{\omega(\omega_{ce}^2 - \omega^2)} \simeq \frac{i \omega_{pe}^2}{\omega \omega_{ce}}$$

$$K_{zz} = 1 - \frac{\omega_{pi}^2 + \omega_{pe}^2}{\omega^2}$$

So dass: $|K_{zz}| \gg |K_{xy}| \gg |K_{xx}|$

In der Wellengleichung setzen wir also direkt $E_z = 0$

Es verbleibt:

$$\begin{vmatrix} K_{xx} - n^2 \cos^2 \theta & K_{xy} \\ -K_{xy} & K_{xx} - n^2 \end{vmatrix} = 0$$



Oder: $n^4 \cos^2 \theta = -K_{xy}^2$, solange nicht $\theta \approx \frac{\pi}{2}$

Hiermit erhalten wir:

$$\omega = \frac{k^2 c^2 \omega_{ce} \cos \theta}{\omega_{pe}^2}$$

Für den Propagationswinkel der Gruppengeschwindigkeit ergibt sich:

$$\tan \alpha = \frac{\frac{1}{k} \frac{\partial \omega}{\partial \theta}}{\frac{\partial \omega}{\partial k}} = \frac{-kc^2 \omega_{ce} \sin \theta / \omega_{pe}^2}{2kc^2 \omega_{ce} \cos \theta / \omega_{pe}^2} = -\frac{1}{2} \tan \theta$$

v_g liegt also immer zwischen B_0 und v_p . Für den Winkel zwischen B_0 und v_g :

$$\tan(\theta + \alpha) = \frac{\tan \theta}{2 + \tan^2 \theta}$$



Das Maximum liegt bei $\tan^2 \theta = 2$

also:
$$\tan(\theta + \alpha)_{max} = \frac{\sqrt{2}}{2 + 2} = \frac{1}{\sqrt{8}}$$

und damit $\theta + \alpha = 19.5^\circ$



Zuerst erwähnt von Boswell (1970). Helicon-Wellen sind propagierende Whistler-Wellen in einem Plasma mit finitem Durchmesser, sie sind niederfrequent und breiten sich bei niedrigem Magnetfeld und hoher Dichte aus:

$$\omega_{LH} \ll \omega \ll \omega_{ce}$$

$$\omega_{pe}^2 \gg \omega \omega_{ce}$$

Obwohl aufgrund der Randbedingungen eine komplexe Modenstruktur vorliegen kann, gilt die einfache Whistler-Dispersionsrelation:

$$\omega = \frac{k^2 c^2 \omega_{ce} \cos \theta}{\omega_{pe}^2} \Leftrightarrow \frac{k k_z}{k_0^2} = \frac{\omega_{pe}^2}{\omega \omega_{ce}}$$

mit $k = \sqrt{k_{\perp}^2 + k_z^2}$, $k k_z = k^2 \cos \theta$ und $k_0 = \frac{\omega}{c}$

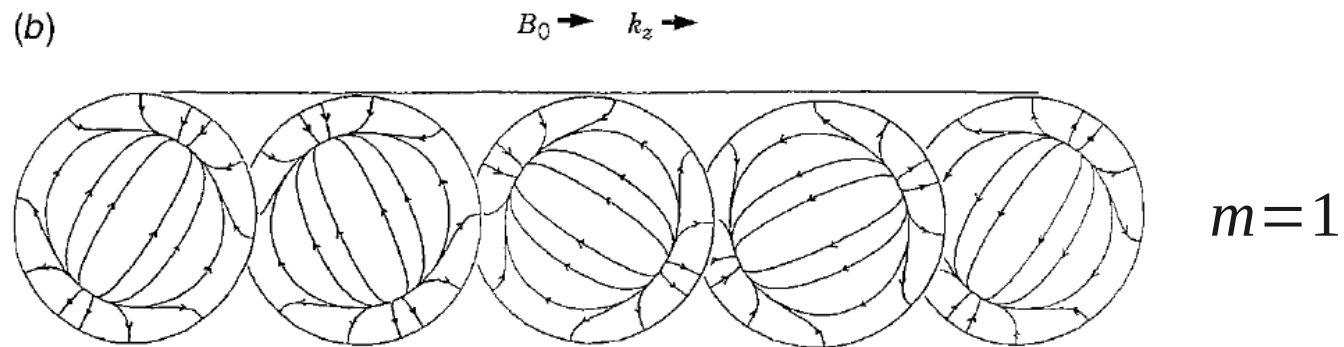
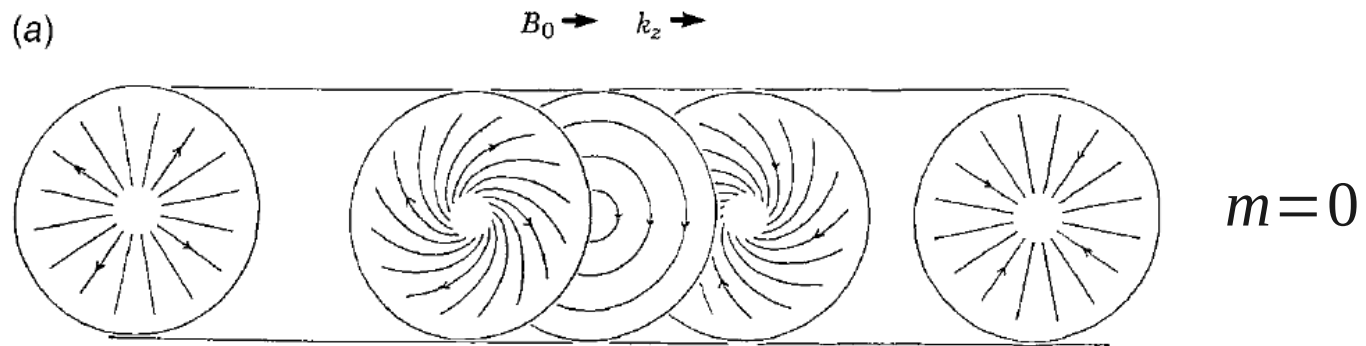
Anwendung: Helicon

Zylindersymmetrie: Wellengleichung wird durch einen Bessel-Ansatz gelöst:

$$X \propto \sum_m J_m(k_{\perp} r) e^{i(k_z z + m\theta - \omega t)}$$

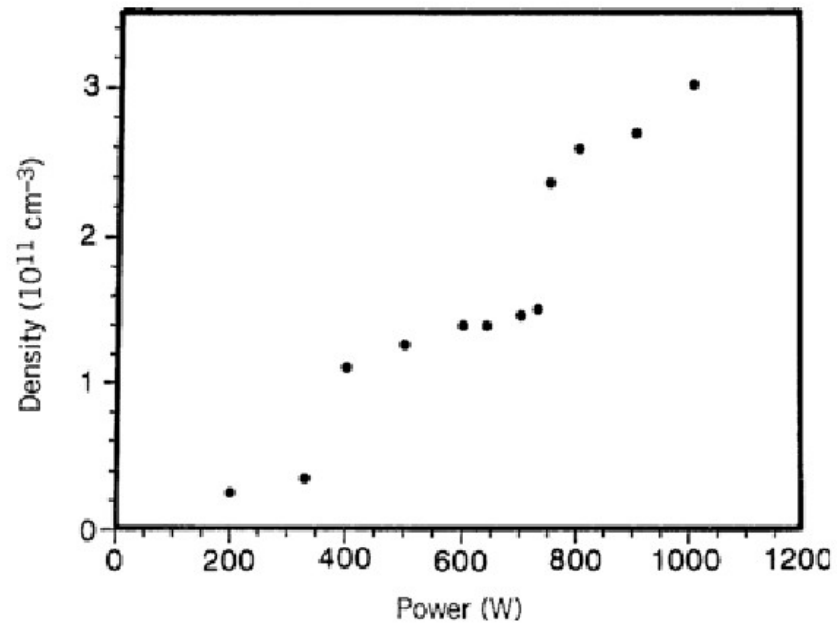
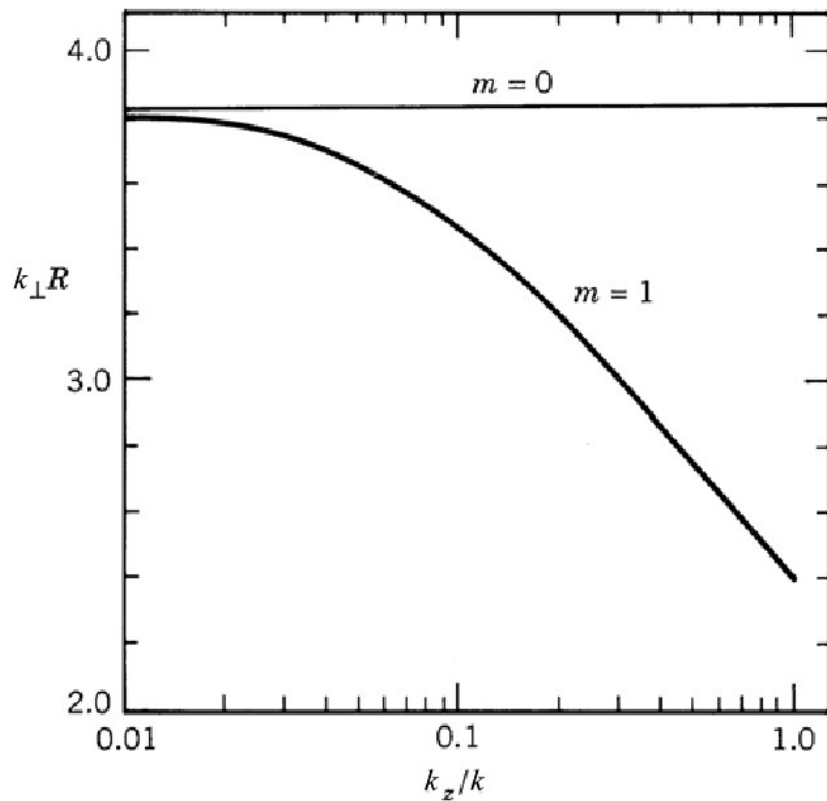
Die Randbedingungen $j_r = 0$ bzw. $E_{\theta} = 0$ bei $r=R$ liefern:

$$mk J_m(k_{\perp} R) + k_z J'_m(k_{\perp} R) = 0$$

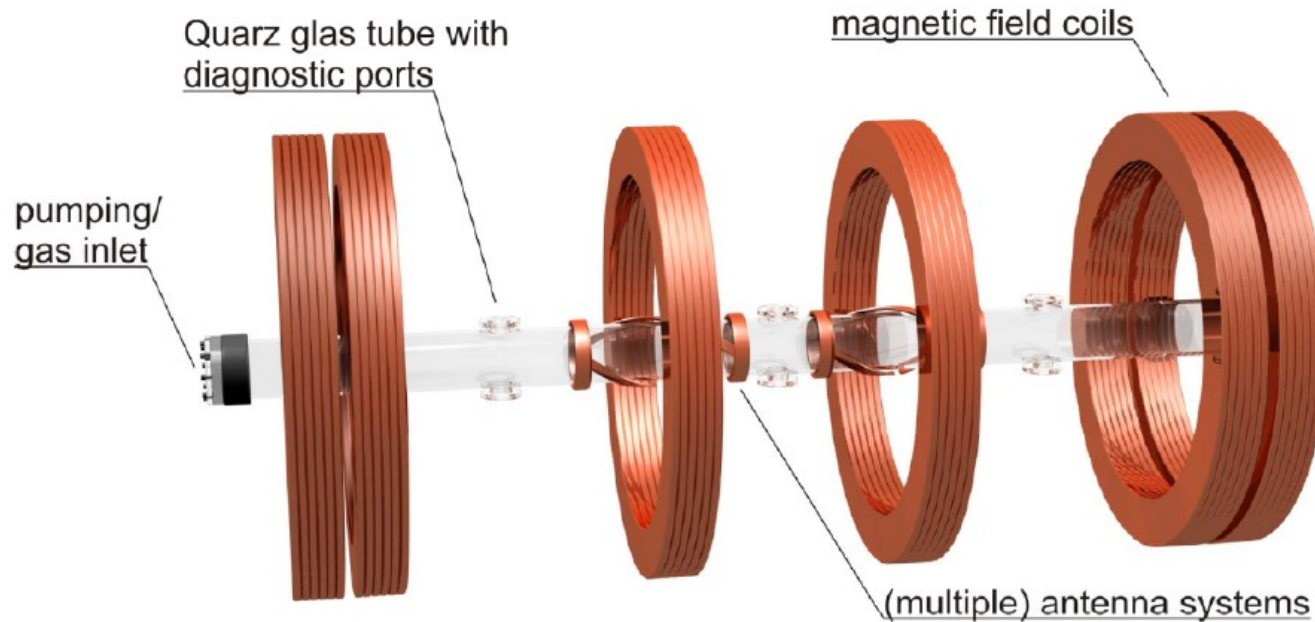
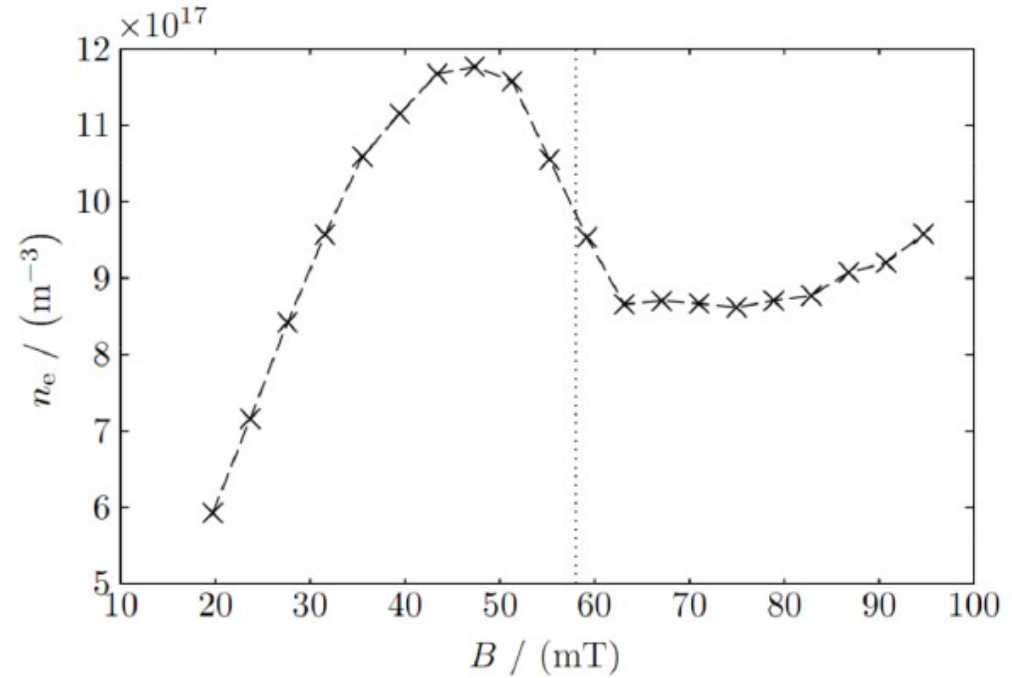
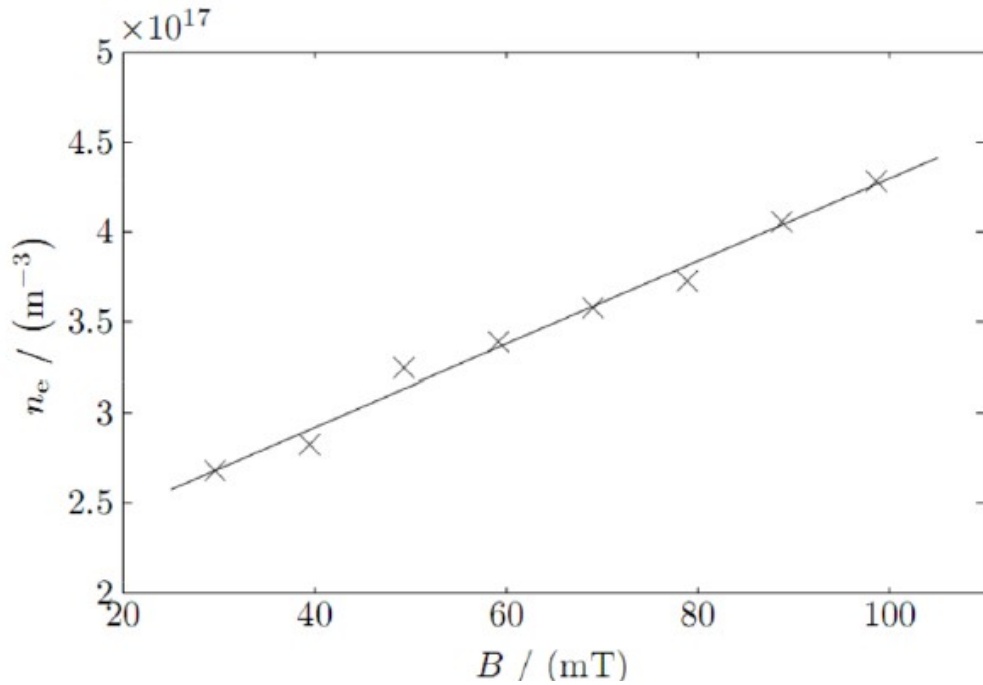




Anwendung: Helicon



Anwendung: Helicon



Wir konzentrieren uns auf hochfrequente Wellen (μ -Welle, (F)IR und sichtbares Licht)
 → Dispersionsrelation für den unmagnetisierten Fall.

$$\omega^2 = k^2 c^2 + \omega_p^2 \quad \text{bzw.} \quad n = \frac{c}{v_p} = \frac{1}{\sqrt{1 + \frac{\omega_{pe}^2}{\omega^2}}}$$

Für $\omega_{pe}^2 \ll \omega^2$ lässt sich die Wurzel entwickeln:

$$n \approx 1 - \frac{1}{2} \frac{\omega_{pe}^2}{\omega^2} = 1 - \frac{e^2}{2 \epsilon_0 m \omega^2} n_e$$

Eine Welle erfährt beim Durchlauf durch ein Plasma also eine Änderung der optischen Weglänge:

$$\Delta z = \int_0^L n_{\text{vakuum}} - n_{\text{pl}} dl$$

Diese lässt sich in eine Phasenverschiebung umrechnen:

$$\Delta \varphi = r_e \lambda \int_0^L n_e dl \quad \text{mit } r_e = \frac{e^2}{4\pi c^2 \epsilon_0 m_e}$$

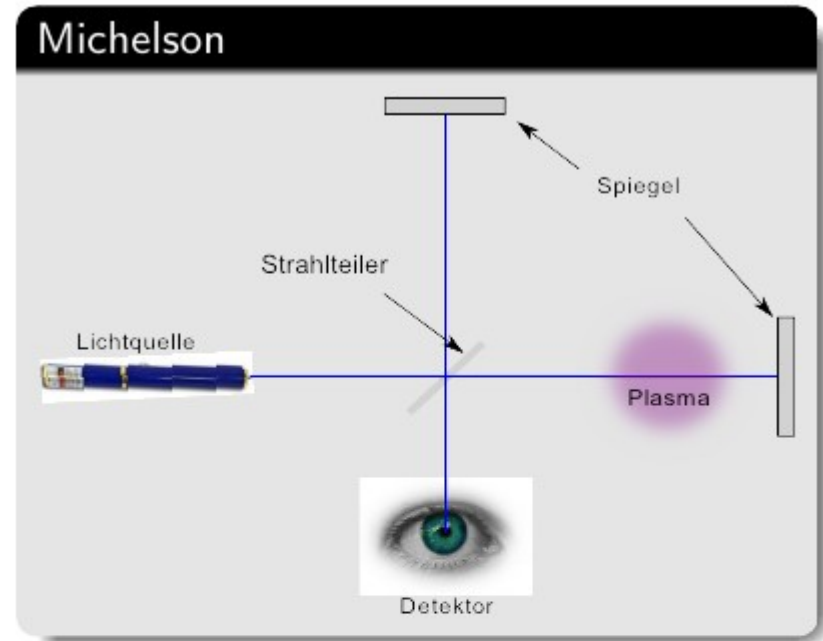
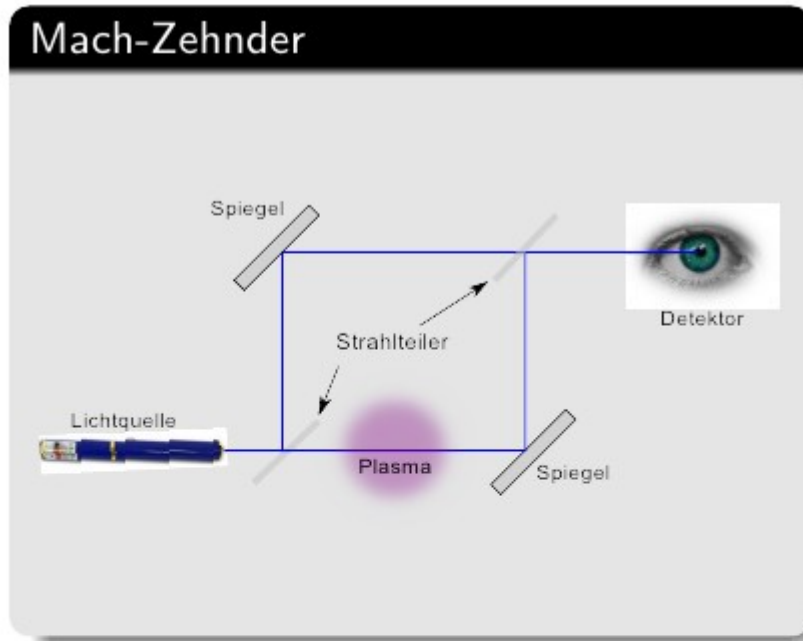
Die messbare Phasenverschiebung ist also direkt proportional zur linienintegrierten Elektronendichte.

Berechnung der gemessenen Intensität: Überlagerung zweier Wellen mit Phasenverschiebung:

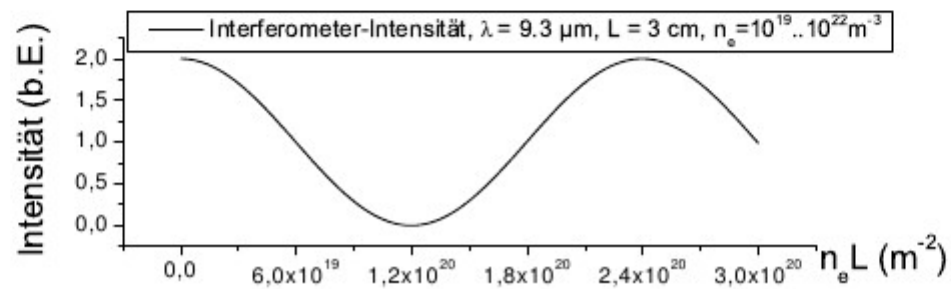
$$I = \langle (E_1 \cos(kx - \omega t) + E_2 \cos(kx - \omega t + \Delta \varphi))^2 \rangle_t$$

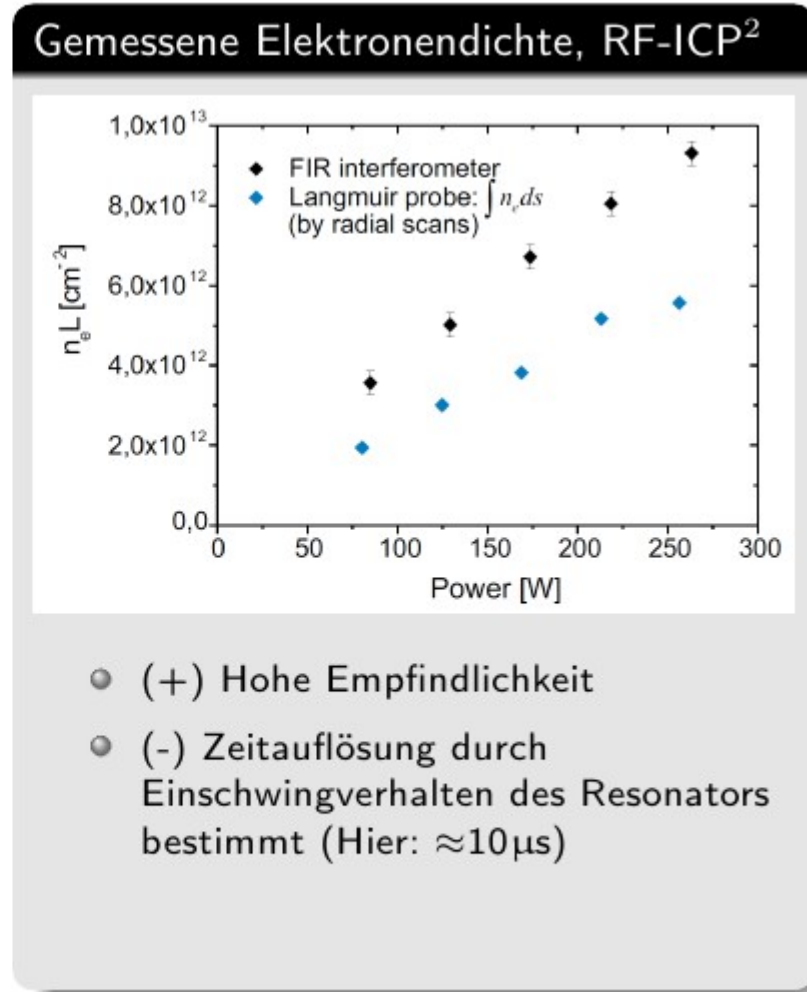
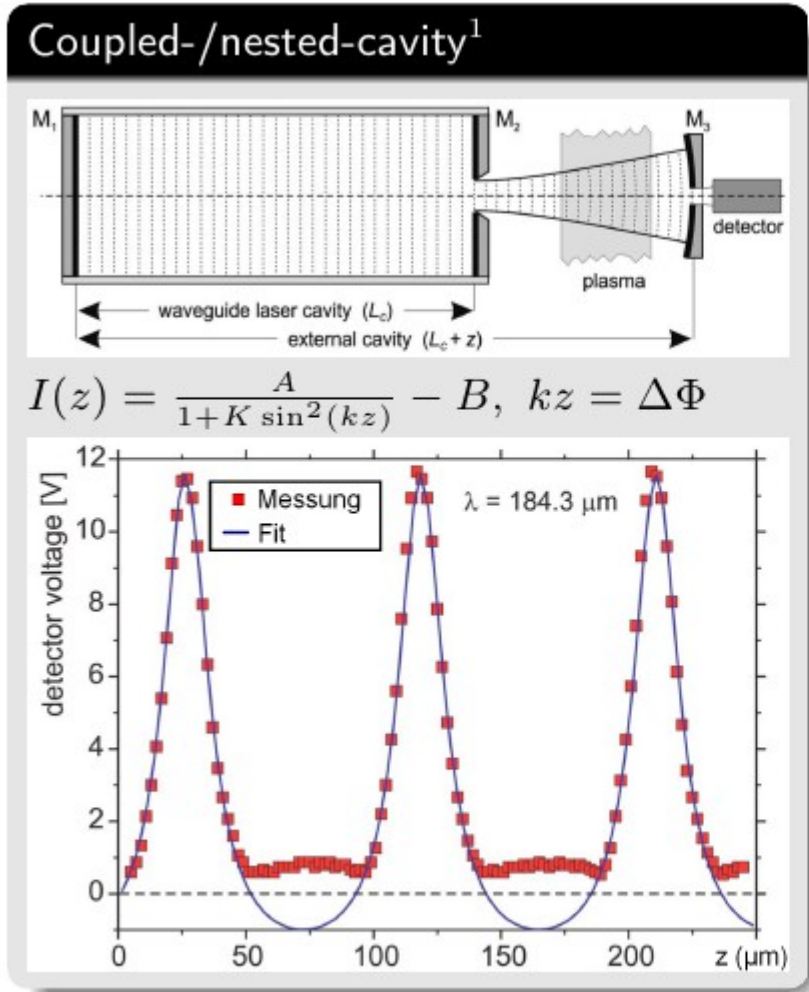
$$I = \langle E_1^2 \cos^2(kx - \omega t) \rangle_t + \langle E_2^2 \cos^2(kx - \omega t + \Delta \varphi) \rangle_t \\ + \langle 2 E_1 E_2 \cos(kx - \omega t) \cos(kx - \omega t + \Delta \varphi) \rangle_t$$

$$I = \frac{E_1^2}{2} + \frac{E_2^2}{2} + E_1 E_2 \cos \Delta \varphi$$



Gemessene Intensität als Funktion der Phasenverschiebung: $I = A \cos(\Delta\Phi(n_e)) + B$





- (+) Hohe Empfindlichkeit
- (-) Zeitauflösung durch Einschwingverhalten des Resonators bestimmt (Hier: $\approx 10\mu\text{s}$)

¹C. Pargmann, S.V. Singh and H. Soltwisch, Rev. Sci. Instrum. 76 (2005), 113506

²C. Pargmann, S.V. Singh, P. Kempkes and H. Soltwisch, Poster P7.19, DPG-Frühjahrstagung 2005